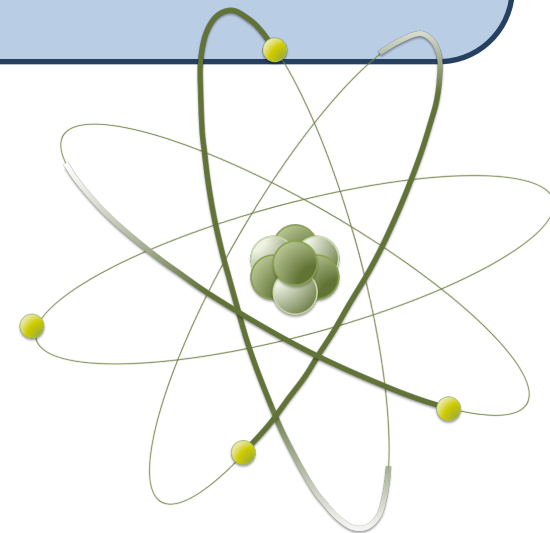


カイラル対称性からひも解く原子核 -我々の質量の起源を求めて-

名古屋大学

クォーク・ハドロン理論研究室 

D3 末永 大輝



1. イントロダクション

- カイラル対称性の自発的破れと核子の質量
- パリティ二重項模型の紹介

2. 核物質中の計算

- パリティ二重項模型を用いた核物質の構築
- 核物質中での $N^-(1535)$ の崩壊幅
- 核物質中での \bar{D} 中間子のスペクトル関数

3. まとめ

1. イントロダクション

- カイラル対称性の自発的破れと核子の質量
- パリティ二重項模型の紹介

2. 核物質中の計算

- パリティ二重項模型を用いた核物質の構築
- 核物質中での $N^-(1535)$ の崩壊幅
- 核物質中での \bar{D} 中間子のスペクトル関数

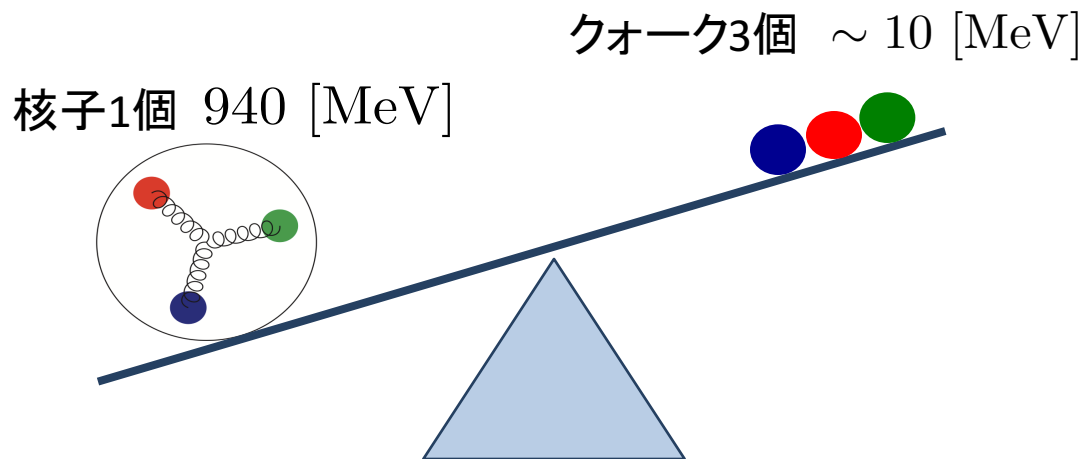
3. まとめ

1. イントロダクション

4/25

• 質量ギャップ問題

- 核子（陽子・中性子）はクォーク3つで出来ているが...



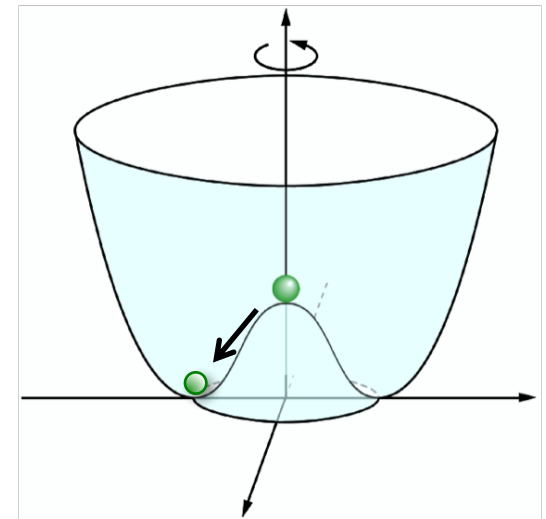
- 核子とクォーク3つの質量に大きな差がある(質量ギャップ問題)
- QCDを解くことが出来れば説明できるが、かなり困難！

• 質量生成機構

– 質量生成機構と言えば、南部陽一郎先生の「自発的対称性の破れ」を思い浮かべる(はず...)

– 例えば ヒッグス機構 (電子等の質量)
超伝導理論 (準粒子の質量)

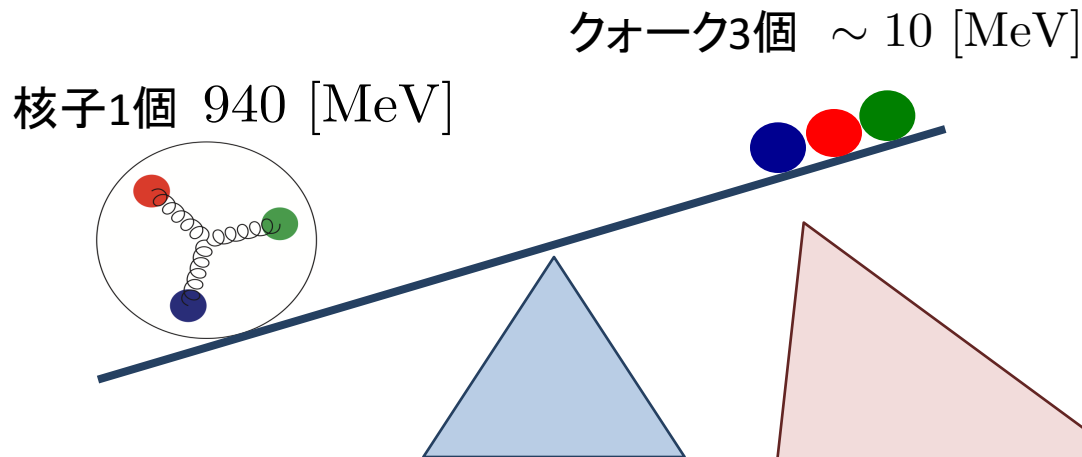
⋮



– 核子質量も「自発的対称性の破れ」で説明出来るのか？

・質量ギャップ問題

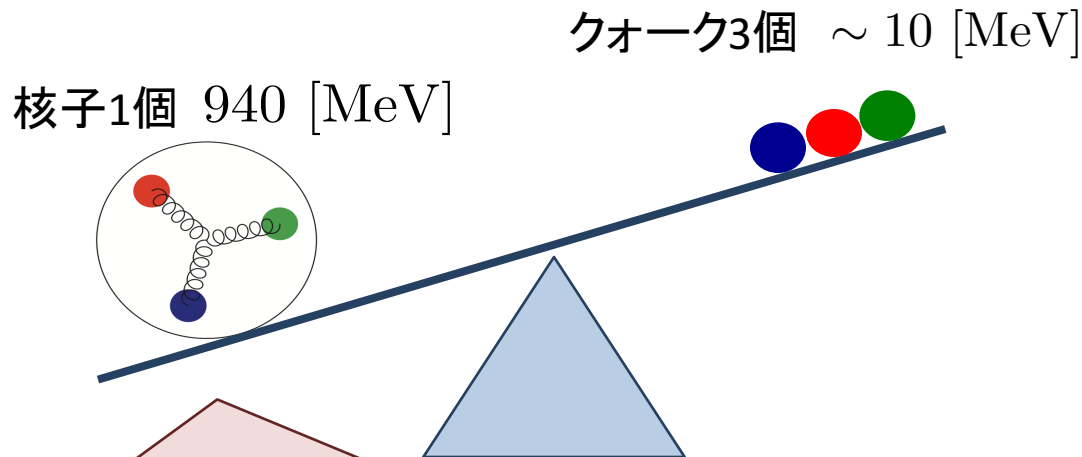
- 核子質量を説明する自発的対称性の破れ



- クォークは軽く (近似的に) ゼロ質量とみなせる
- QCD はもともと (近似的に) カイラル対称性を持っている

• 質量ギャップ問題

- 核子質量を説明する自発的対称性の破れ



- 核子の質量はカイラル対称性が自発的に破れて与えられる
(カイラル対称性の自発的破れ)

・カイラル対称性の自発的な破れ

– 南部理論:

(近似的な)対称性が自発的に破れると、(近似的に)ゼロ質量の粒子 (南部・ゴールドストーンボソン) が出現する



カイラル対称性の自発的破れの場合は、軽いパイオンが出現する

– カイラル対称性の自発的破れを用いれば、核子の質量とパイオンの存在を同時に説明することが出来る

• カイラル有効模型

– 「カイラル対称性の自発的破れ」を基にしたハドロンレベルの理論を、**カイラル有効模型**と呼ぶ

– 例えば

線形シグマ模型

M. Gell-Mann and M. Levy, Nuovo Cim. 16. 705 (1960)
J. S. Schwinger, Annals Phys. 2. 407 (1957)

非線形シグマ模型

J. Gasser, H. Leutwyler, Nucl.Phys. B250. 465 (1985)
G. Ecker, Prog.Part.Nucl.Phys. 35. 1 (1995)

パリティ二重項模型

C. E. DeTar and T. Kunihiro, Phys. Rev. D 39, 2805 (1989)
D. Jido, M. Oka, and A. Hosaka, PTP 106, 873 (2001)

⋮

・カイラル有効模型

– 「カイラル対称性の自発的破れ」を基にしたハドロンレベルの理論を、**カイラル有効模型**と呼ぶ

– 例えば

線形シグマ模型

M. Gell-Mann and M. Levy, Nuovo Cim. 16. 705 (1960)
J. S. Schwinger, Annals Phys. 2. 407 (1957)

非線形シグマ模型

J. Gasser, H. Leutwyler, Nucl.Phys. B250. 465 (1985)
G. Ecker, Prog.Part.Nucl.Phys. 35. 1 (1995)

今日は

パリティ二重項模型

C. E. DeTar and T. Kunihiro, Phys. Rev. D 39, 2805 (1989)
D. Jido, M. Oka, and A. Hosaka, PTP 106, 873 (2001)

⋮

• パリティ二重項模型

- 核子 N^+ (939) と負パリティ核子 N^- (1535) を同時に取り扱い、質量がそれぞれ以下のように与えられる

$$M_{N^\pm} = \sqrt{a^2 \sigma_0^2 + m_0^2} \mp b \sigma_0$$

σ_0 : カイラル対称性の破れの強さの指標 (order parameter)

m_0 : カイラル対称性と無関係な質量 (カイラル不変質量)

- カイラル対称性が回復 ($\sigma_0 = 0$) すると $M_{N^\pm} = m_0$ となり、 N^+ (939) と N^- (1535) が縮退する

1. イントロダクション

- カイラル対称性の自発的破れと核子の質量
- パリティ二重項模型の紹介

2. 核物質中の計算

- パリティ二重項模型を用いた核物質の構築
- 核物質中での $N^-(1535)$ の崩壊幅
- 核物質中での \bar{D} 中間子のスペクトル関数

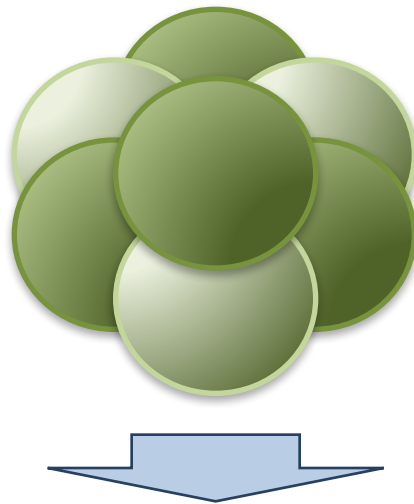
3. まとめ

2. 核物質中の計算

13/25

• 核物質 (原子核)

- 核物質 (原子核) は核子の多体系



- 束縛エネルギー
- 対称エネルギー
- 密度の飽和性
- 非圧縮率 (“堅さ”)
- ⋮

- 核物質 (原子核) の性質をカイラル対称性の観点から説明することも可能なのでは？

• パリティ二重項モデルによる核物質の構築

– 核子とメソンのラグランジアン

$$\begin{aligned}\mathcal{L}_N = & \bar{\psi}_{1r} i \gamma^\mu D_\mu \psi_{1r} + \bar{\psi}_{1l} i \gamma^\mu D_\mu \psi_{1l} \\ & + \bar{\psi}_{2r} i \gamma^\mu D_\mu \psi_{2r} + \bar{\psi}_{2l} i \gamma^\mu D_\mu \psi_{2l} \\ & - m_0 [\bar{\psi}_{1l} \psi_{2r} - \bar{\psi}_{1r} \psi_{2l} - \bar{\psi}_{2l} \psi_{1r} + \bar{\psi}_{2r} \psi_{1l}] \\ & - g_1 \sigma [\bar{\psi}_{1r} U^\dagger \psi_{1l} + \bar{\psi}_{1l} U \psi_{1r}] \\ & - g_2 \sigma [\bar{\psi}_{2r} U \psi_{2l} + \bar{\psi}_{2l} U^\dagger \psi_{2r}] \\ & - a_{\rho NN} [\bar{\psi}_{1l} \gamma^\mu (\xi_L^\dagger \hat{\alpha}_{\parallel\mu} \xi_L) \psi_{1l} + \bar{\psi}_{1r} \gamma^\mu (\xi_R^\dagger \hat{\alpha}_{\parallel\mu} \xi_R) \psi_{1r}] \\ & - a_{\rho NN} [\bar{\psi}_{2l} \gamma^\mu (\xi_R^\dagger \hat{\alpha}_{\parallel\mu} \xi_R) \psi_{2l} + \bar{\psi}_{2r} \gamma^\mu (\xi_L^\dagger \hat{\alpha}_{\parallel\mu} \xi_L) \psi_{2r}] \\ & - a_{0NN} \text{tr}[\hat{\alpha}_{\parallel\mu}] (\bar{\psi}_{1l} \gamma^\mu \psi_{1l} + \bar{\psi}_{1r} \gamma^\mu \psi_{1r} \\ & + \bar{\psi}_{2l} \gamma^\mu \psi_{2l} + \bar{\psi}_{2r} \gamma^\mu \psi_{2r}).\end{aligned}$$

$$U = \xi_L^\dagger \xi_R = \exp \{i\pi / f_\pi\}$$

$$\hat{\alpha}_{\parallel\mu} = \frac{1}{2i} \{ (\partial_\mu - iV_\mu) \xi_R \xi_R^\dagger + (\partial_\mu - iV_\mu) \xi_L \xi_L^\dagger \}$$

V_μ : ρ, ω メソン場

– ψ_1, ψ_2 の線形結合が $N^+(939), N^-(1535)$ となる

• パリティ二重項モデルによる核物質の構築

– メソン部分のラグランジアン

$$\begin{aligned}\mathcal{L}_M = & \frac{1}{2} \partial_\mu \sigma \partial^\mu \sigma + \sigma^2 \text{tr}[\hat{\alpha}_{\perp\mu} \hat{\alpha}_{\perp}^\mu] - V_\sigma - V_{\text{SB}} \\ & + \frac{m_\rho^2}{g_\rho^2} \text{tr}[\hat{\alpha}_{\parallel\mu} \hat{\alpha}_{\parallel}^\mu] + \left(\frac{m_\omega^2}{2g_\omega^2} - \frac{m_\rho^2}{2g_\rho^2} \right) \text{tr}[\hat{\alpha}_{\parallel\mu}] \text{tr}[\hat{\alpha}_{\parallel}^\mu] \\ & - \frac{1}{2g_\rho^2} \text{tr}[\rho_{\mu\nu} \rho^{\mu\nu}] - \left(\frac{1}{4g_\omega^2} - \frac{1}{4g_\rho^2} \right) \text{tr}[\omega_{\mu\nu}] \text{tr}[\omega^{\mu\nu}]\end{aligned}$$

$$\hat{\alpha}_\mu = \frac{1}{2i} (\partial_\mu \xi_R \xi_R^\dagger - \partial_\mu \xi_L \xi_L^\dagger)$$

$$V_\sigma = -\frac{1}{2} \bar{\mu}^2 \sigma^2 + \frac{1}{4} \lambda \sigma^4 - \frac{1}{6} \lambda_6 \sigma^6,$$

$$V_{\text{SB}} = -\frac{1}{4} \bar{m} \epsilon \sigma \text{tr}[U + U^\dagger].$$

– σ の6点相互作用が付け加えられている

• パリティ二重項モデルによる核物質の構築

- メソンの平均場と核子の1ループにより核物質を構築
- 真空に関するのインプットの表 [MeV]

m_+	m_-	m_ω	m_ρ	f_π	m_π
939	1535	783	776	92.3	140

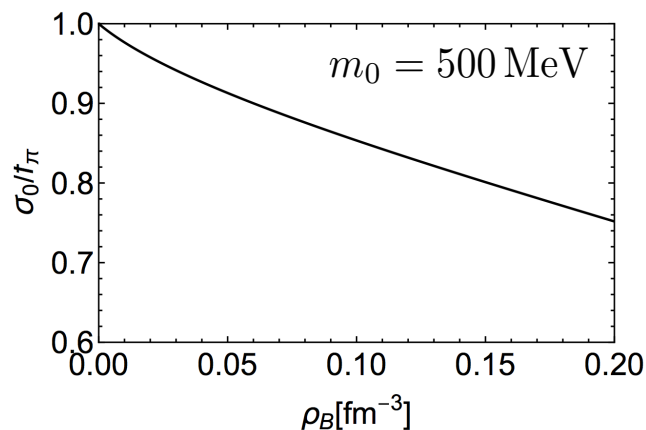
- 核物質に関するインプットの表

$\rho_0(\mu_B^*) (\text{fm}^{-3})$	$E/A(\mu_B^*) - m_+ (\text{MeV})$	$K (\text{MeV})$	$E_{\text{sym}} (\text{MeV})$
0.16	-16	240	31

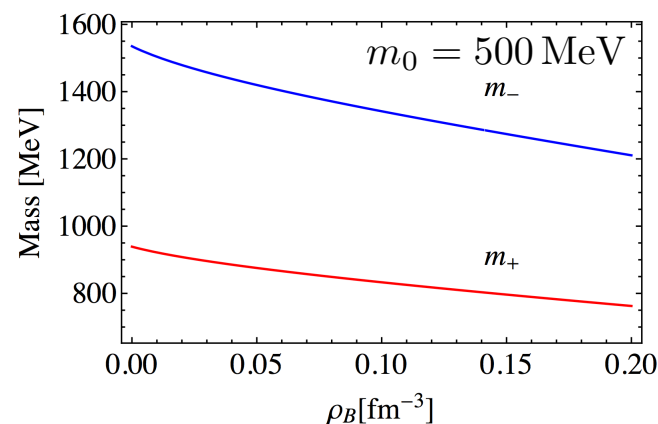
- パリティ二重項モデルで核物質の性質を再現可能
- カイラル不変質量 m_0 のみフリーパラメーター

• 結果

– 核物質中でのカイラル対称性



σ_0 の密度依存性



m_+ , m_- の密度依存性

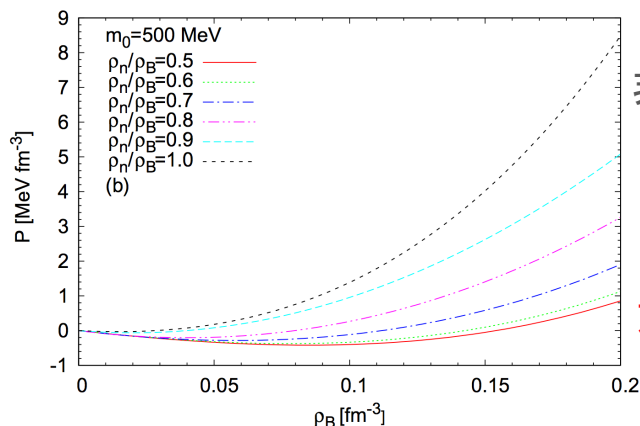
- 密度が上がると σ_0 が小さくなり、 m_+ と m_- の差が小さくなる (カイラル対称性の部分的回復)

2. 核物質中の計算

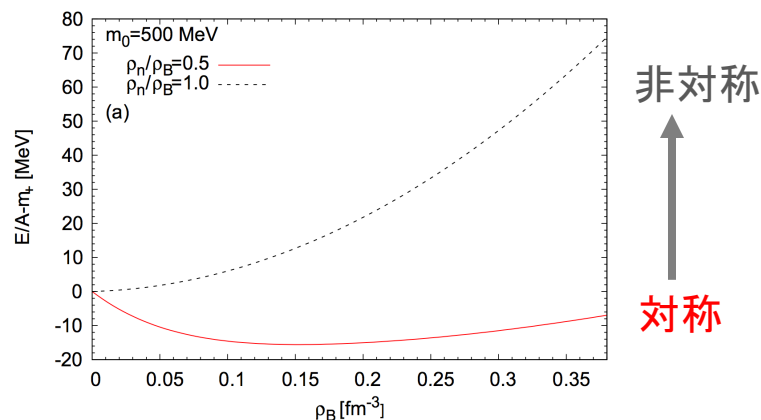
• 結果

– 非対称核物質 ($n_p \neq n_n$) における結果

Y. Motohiro, Y. Kim, M. Harada,
PRC92, 025201 (2015)



圧力の密度依存性



束縛エネルギーの密度依存性

– 飽和する密度を直接のインプットにしていないが
 $\rho \approx 0.16 \text{ fm}^{-3}$ で束縛エネルギーが最小値をとる

2. 核物質中の計算

19/25

• 議論

- 有限体積の核物質(=原子核)における密度の r 依存性 $\rho_B(r)$ やスピン・軌道相互作用 (LS力) の強さはどうなる？



- 現在計算中 (今は見せられませんが良い感じになりそうです)

- 真空での $N^-(1535)$ の崩壊幅や $N^+(939)$ の軸性電荷は？



- 微分結合を入れれば解決する
(平均場近似を用いた核物質の結果は変わらない)

• パリティ二重項模型の改良

- 高次と思われる微分結合を入れる

$$\begin{aligned}\mathcal{L}_\partial = & -ih_1 [\bar{\psi}_{1l}(M\partial M^\dagger - \partial M M^\dagger)\psi_{1l} + \bar{\psi}_{1r}(M^\dagger\partial M - \partial M^\dagger M)\psi_{1r}] \\ & -ih_2 [\bar{\psi}_{2r}(M\partial M^\dagger - \partial M M^\dagger)\psi_{2r} + \bar{\psi}_{2l}(M^\dagger\partial M - \partial M^\dagger M)\psi_{2l}]\end{aligned}$$

$$M = \sigma U$$

- カイラルシングレットの η メソンを付け加える

$$\mathcal{L}_\eta = \frac{1}{2}\partial_\mu\eta\partial^\mu\eta - \frac{m_\eta^2}{2}\eta^2 + g_{N^+N^-\eta}\bar{N}^-\eta N^+ + g_{N^+N^-\eta}^*\bar{N}^+\eta N^-$$

- 追加されたパラメーターに対するインプット

$$\Gamma[N^- \rightarrow N^+\pi] = \Gamma[N^- \rightarrow N^+\eta] \approx 75 \text{ MeV}$$

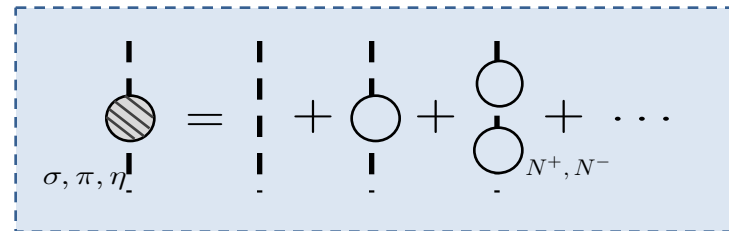
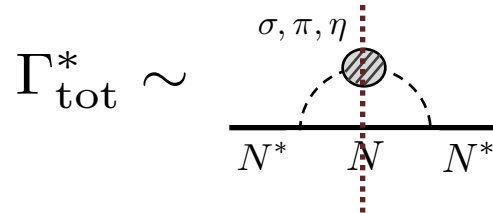
$$g_A^{N^+} \approx 1.27$$

2. 核物質中の計算

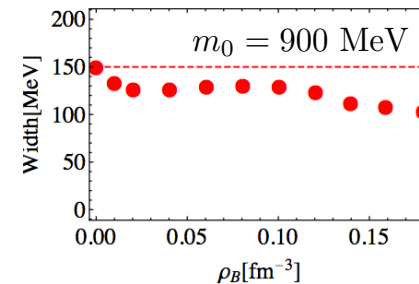
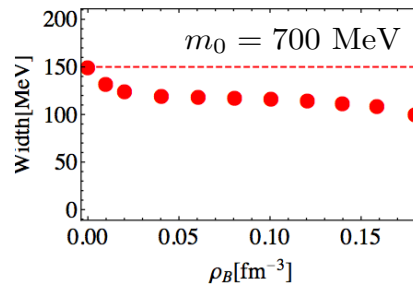
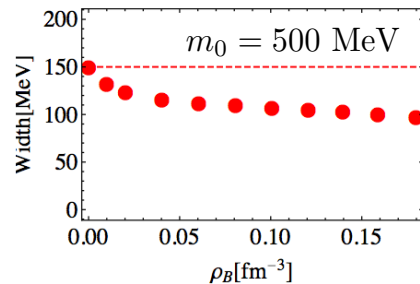
核物質中での $N^-(1535)$ の崩壊幅

– カイラル対称性を尊重しながら計算する

D. Suenaga, 1704:03630



– 結果



– ブロードニングは起こらず、むしろ崩壊幅は小さくなった
(核物質中でのカイラル対称性の回復を見るプローブに?)

2. 核物質中の計算

22/25

• 核物質中での \bar{D} 中間子を用いた m_0 の値の探求

- 互いにカイラルパートナーである $\bar{D}(0^-)$ と $\bar{D}_0^*(0^+)$ を考える

$$M_{\bar{D}_0^*} = a_D + b_D \sigma_0$$

$$M_{\bar{D}} = a_D - b_D \sigma_0$$

M. A. Nowak, M. Rho, and I. Zahed, PRD 48 (1993)
W. A. Bardeen and C. T. Hill, PRD 49 (1994).

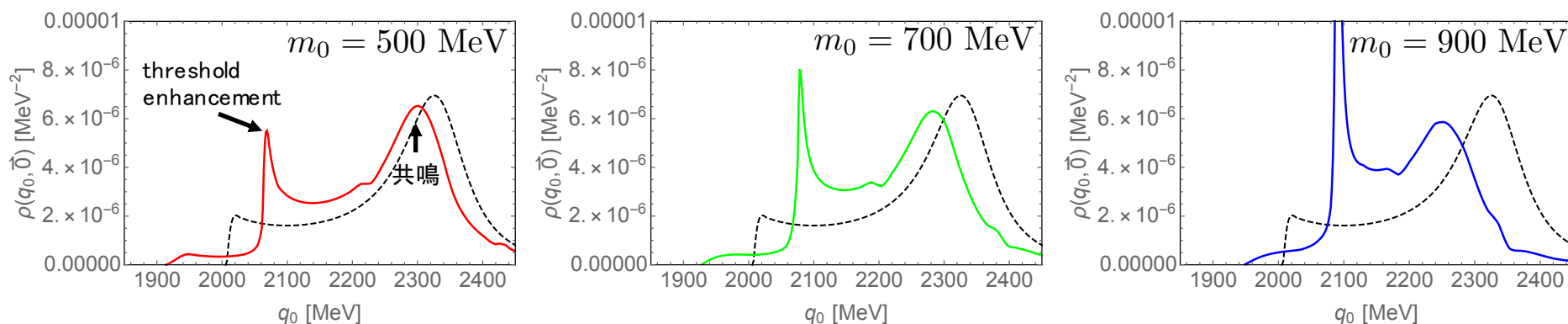
- パリティ二重項模型で構築した核物質中での、 $\bar{D}_0^*(0^+)$ の自己エネルギーを計算

D. Suenaga, S. Yasui, M. Harada, PRC96. 015204 (2017)

$$\Sigma_{\bar{D}_0^*}^*(q) = \text{平均場} + \text{Hartree型1ループ} + \text{Fock型1ループ}$$

• 結果

- $\rho_B = 0.16 \text{ fm}^{-3}$ における $\bar{D}_0^*(0^+)$ のスペクトル関数



- $\bar{D}_0^*(0^+)$ 共鳴の位置は m_0 が大きいほど左に移動し、threshold enhancementの位置は逆に右に移動し、鋭く高く立つ
- 核物質中でのカイラル対称性の回復と m_0 の値を知るために特にthreshold enhancementが良いプローブになる！？

1. イントロダクション

- カイラル対称性の自発的破れと核子の質量
- パリティ二重項模型の紹介

2. 核物質中の計算

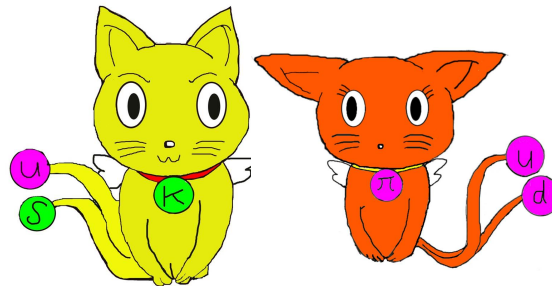
- パリティ二重項模型を用いた核物質の構築
- 核物質中での $N^-(1535)$ の崩壊幅
- 核物質中での \bar{D} 中間子のスペクトル関数

3. まとめ

• まとめ

- 核子の質量は「カイラル対称性の自発的破れ」で説明される
- 「パリティ二重項模型」は核物質の性質を説明可能な模型であるが、「カイラル不変質量 m_0 」の値は不明
- m_0 は、我々の質量の起源にも関わる重要な物理量である
- 核物質中でのカイラル対称性の回復や m_0 の値を知るために $N^-(1535)$ や $\bar{D}_0^*(0^+)$ が良いプローブとなり得る

ありがとうございました

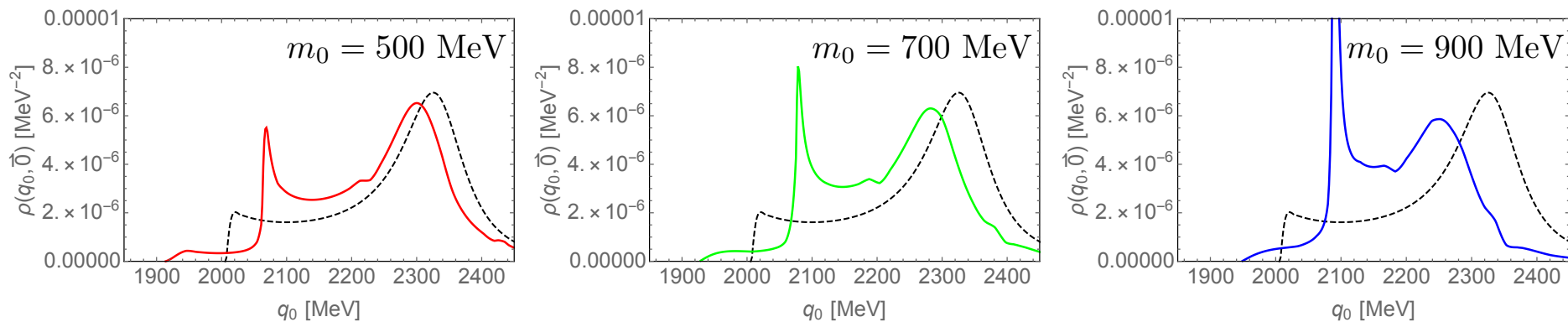


ケイにゃん パイにゃん

Back up

• 結果

– $\rho_B = 0.16 \text{ fm}^{-3}$ における $\bar{D}_0^*(0^+)$ のスペクトル関数

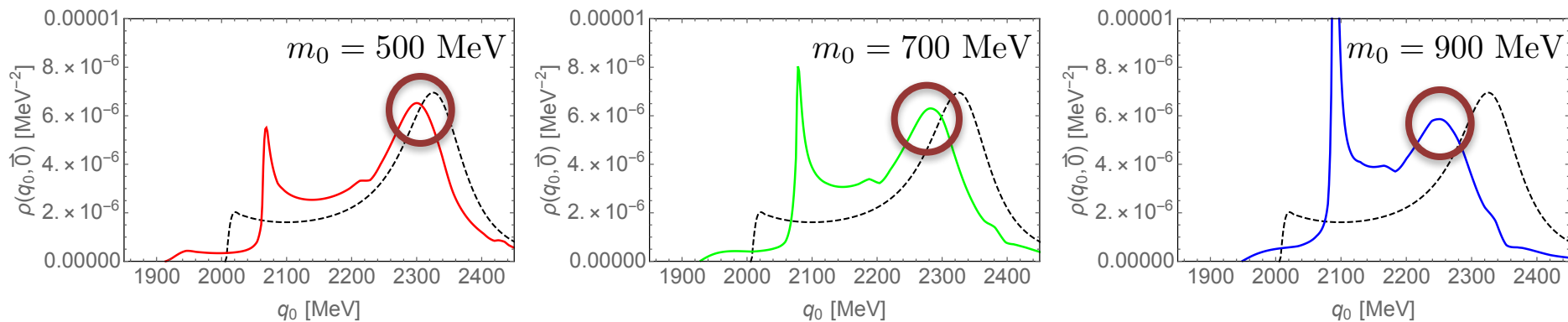


– 点線が真空でのスペクトル関数を表し、色線が結果を表す

1. イントロダクション

• 結果

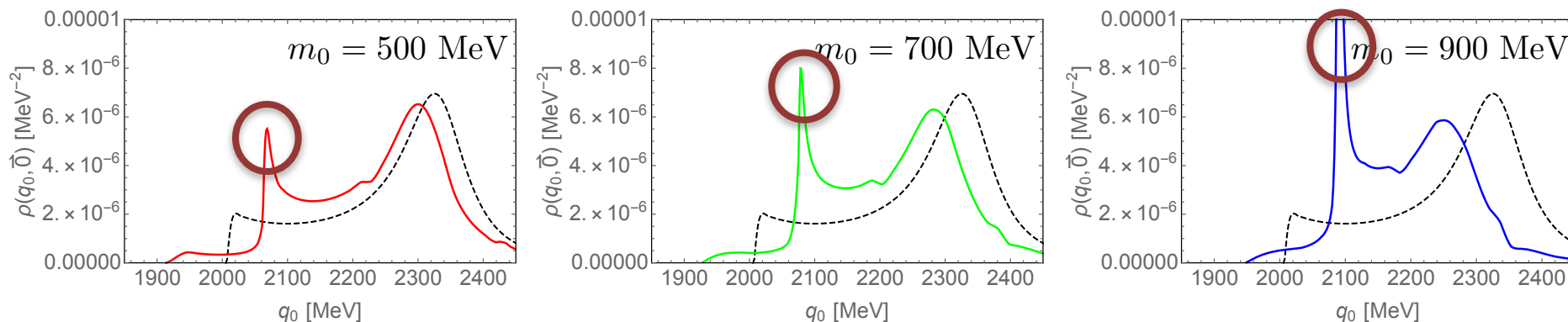
– $\rho_B = 0.16 \text{ fm}^{-3}$ における $\bar{D}_0^*(0^+)$ のスペクトル関数



– $\bar{D}_0^*(0^+)$ 共鳴の位置は、 m_0 が大きいほど左に移動する
(m_0 が大きいほどカイラル対称性の回復が早いことに対応)

• 結果

- $\rho_B = 0.16 \text{ fm}^{-3}$ における $\bar{D}_0^*(0^+)$ のスペクトル関数



- Threshold enhancementの位置は、 m_0 が大きいほど右に移動し、鋭く高くなる
- 核物質中でのカイラル対称性の回復を見るプローブ、さらにカイラル不変質量 m_0 の値を知る良いプローブにも！？